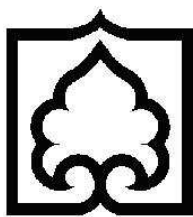


بِسْمِ اللَّهِ الرَّحْمَنِ الرَّحِيمِ



دانشگاه سبزگان

دانشکده علوم-گروه شیمی

پایان نامه کارشناسی ارشد

گرایش شیمی تجزیه

ساخت حسگر زیستی گلوکز توسط الکتروود کربن شیشه‌ای اصلاح شده با نانولوله-
کربن و پلیمر

نگارنده:

صدیقه شریفی‌راد

استاد راهنما:

دکتر محمدعلی کامیابی

دی ماه ۹۰

به پاس تعبیر عظیم و انسانی‌شان از کلمه ایثار و از خودگذشتگان

به پاس عاطفه سرشار و گرمای امیدبخش وجودشان که در این سردترین

روزگاران بهترین پشتیبان است

به پاس قلب‌های بزرگشان که فریاد رس است و سرگردانی و ترس در

پناهشان به شجاعت می‌گراید

و به پاس محبت‌های بی دریغشان که هرگز فروکش نمی‌کند

این پایان‌نامه را به مادر و پدر عزیزم و خواهران دوقلو دوست‌داشتنیم

تقدیم می‌کنم.

من به سرچشمه خورشید نه خود بردم راه

ذره‌ای بودم و مهر تو مرا بالا برد

اولین سپاس به پیشگاه حضرت دوست که هر چه هست از اوست.

از استاد فرهیخته و فرزانه جناب آقای دکتر کامیابی
که با کرامتی چون خورشید، سرزمین دل را روشنی بخشیدند و گلشن سرای علم و
دانش را با راهنمایی‌های کار ساز و سازنده بارور ساختند تقدیر و تشکر می‌نمایم.
زندگی، گرمی دل‌های به هم پیوسته است

تا در آن دوست نباشد، همه دل‌ها خسته است!

از دوستان بزرگووارم، خانم الهام ساداتی و مینا حبیبی‌زاده از این که دلسوزانه در
کنارم بودند و در کنارشان آرامش روحی و آسایش فکری داشتم سپاسگذارم.
از کلیه دوستان آزمایشگاه الکتروشمی جهت همکاری بی دریغشان جهت پیشبرد
این پایان‌نامه سپاسگذارم.

و در پایان سپاس از عزیزانی که از سر اغماض رخصت بردن نامشان را به ما ندادند
که اگر حضور ایشان نبود، راه به جایی نمی‌بردیم.

چکیده

فصل اول : مقدمه

۱-۱ مقدمه‌ای بر الکتروشیمی	۱
۲-۱ حسگرها و انواع آنها	۲
۳-۱ زیست حس گرها	۵
۱-۳-۱ زیست حس گرهای الکتروشیمیایی	۶
۴-۱ زیست حس گرهای گلوکز	۶
۱-۴-۱ نسل اول زیست حس گرهای گلوکز	۶
۲-۴-۱ نسل دوم زیست حس گرهای گلوکز	۷
۳-۴-۱ نسل سوم زیست حس گرهای گلوکز	۹
۵-۱ الکترودهای اصلاح شده به طریق شیمیایی	۱۰
۱-۵-۱ اصطلاحات و تعاریف	۱۱
۶-۱ نانولوله‌های کربنی (CNTs)	۱۳
۱-۶-۱ ویژگی‌های الکتروشیمیایی و الکتروکاتالیزوری نانولوله‌های کربنی	۱۵
۷-۱ پلیمرهای رسانا و نارسانا	۱۶
۱-۷-۱ پلیمرهای رسانا	۱۶
۲-۷-۱ پلیمرهای نارسانا	۱۷
۳-۷-۱ اصلاح سطح الکترودها با پلیمرها	۱۹
۸-۱ الکترودهای آنزیمی	۲۰
۱-۸-۱ آنزیم‌ها	۲۱
۲-۸-۱ سازوکار واکنش‌های آنزیمی	۲۱
۹-۱ فناوری نانو	۲۴

فصل دوم: تاریخچه

- ۱-۲ مروری بر تحقیقات گذشته..... ۲۶
- ۱-۱-۲ اندازه‌گیری آمپرومتری پراکسید هیدروژن و گلوکز توسط الکترودهای اصلاح شده..... ۲۷
- ۲-۲ نانولوله‌های کربنی در حسگرهای زیستی گلوکز..... ۲۸
- ۳-۲ کاربرد پلیمرها در تکامل بیوسنسورها..... ۳۳
- ۱-۳-۲ استفاده از فیلم پلیمری تنها برای تهیه بیوسنسور..... ۳۴
- ۲-۳-۲ استفاده همزمان فیلم پلیمری و اصلاح کننده‌های دیگر..... ۳۶
- ۱-۲-۳-۲ اصلاح سطح الکترودها با ترکیب پلیمرها و نانولوله‌های کربن..... ۳۷
- ۴-۲ مروری بر روش‌های الکتروشیمیایی مورد استفاده برای اندازه‌گیری دوپامین، اوریک اسید و آسکوربیک اسید..... ۴۰
- ۵-۲ اهداف پروژه..... ۴۷
- ۶-۲ معرفی گونه‌های بیولوژیکی به کار رفته در این پروژه..... ۴۸
- ۱-۶-۲ آنزیم‌ها..... ۴۸
- ۱-۱-۶-۲ آنزیم گلوکز اکسیداز..... ۴۸
- ۲-۱-۶-۲ روش‌های تثبیت آنزیم روی سطح الکترودها..... ۵۰
- ۲-۶-۲ گلوکز آلدهید..... ۵۳
- ۳-۶-۲ گلوکز..... ۵۵
- ۴-۶-۲ دوپامین..... ۵۶
- ۵-۶-۲ اوریک اسید..... ۵۷
- ۶-۶-۲ آسکوربیک اسید..... ۵۹
- ۷-۶-۲ ترکیب ۴-آمینوتیوفنول..... ۶۰

فصل سوم : بخش تجربی

- ۱-۳ دستگاه‌های مورد استفاده..... ۶۱
- ۲-۳ مواد مورد نیاز..... ۶۱
- ۳-۳ تهیه محلول‌ها..... ۶۲
- ۴-۳ آماده کردن الکترودها کربن شیشه‌ای اصلاح شده با نانولوله کربن و ۴-آمینوتیوفنول..... ۶۳

- ۳-۵ قرار دادن آنزیم و گلوکارآلدهید بر روی سطح الکتروود اصلاح شده با نانولوله‌ی کربنی و پلی ۴-۶۳
 آمینوتیوفنول.....
- ۳-۶ بهینه کردن عوامل مرتبط با فعالیت الکتروکاتالیزوری فیلم پلیمری سنتز شده در سطح الکتروود کربن شیشه‌ای..... ۶۳
- ۳-۷ بررسی‌های انجام گرفته با الکتروود اصلاح شده با نانولوله کربن، پلی ۴-آمینوتیوفنول، آنزیم گلوکز اکسیداز و گلوکارآلدهید..... ۶۴
- ۳-۷-۱ ولتاموگرام‌های مربوط به بررسی رفتار گلوکز..... ۶۴
- ۳-۷-۲ تعیین حد تشخیص گلوکز در سیستم اصلاح شده..... ۶۴
- ۳-۷-۳ تهیه نمونه حقیقی..... ۶۵
- ۳-۷-۴ مطالعه‌ی سینتیکی اکسایش الکتروکاتالیزوری گلوکز در الکتروود کربن شیشه‌ای اصلاح شده..... ۶۵
- ۳-۸ تعیین حد تشخیص در اندازه‌گیری دوپامین، آسکوربیک اسید و اوریک اسید..... ۶۵
- ۳-۹ تهیه‌ی نمونه‌ی حقیقی..... ۶۶

فصل چهارم : بخش تجربی

- ۴-۱ تهیه الکتروود کربن شیشه‌ای اصلاح شده با نانولوله‌های کربن و پلی ۴-آمینوتیوفنول..... ۶۷
- ۴-۱-۱ الکتروسنتز فیلم پلی ۴-آمینوتیوفنول در سطح الکتروود کربن شیشه‌ای پوشیده شده با نانولوله‌های کربن..... ۶۹
- ۴-۲ بهینه کردن پارامترهای مرتبط با فعالیت الکتروکاتالیزوری الکتروود کربن شیشه‌ای اصلاح شده..... ۷۲
- ۴-۲-۱ بهینه کردن مقدار نانولوله‌های کربنی..... ۷۳
- ۴-۲-۲ بهینه کردن غلظت مونومر..... ۷۴
- ۴-۲-۳ بهینه کردن غلظت اسید..... ۷۶
- ۴-۲-۴ بررسی تعداد چرخه‌های الکتروپلیمره کردن..... ۷۷
- ۴-۳ بررسی خواص فیلم پلی ۴-آمینوتیوفنول..... ۷۸
- ۴-۳-۱ مطالعه‌ی ولتامتری چرخه‌ای فیلم پلی ۴-آمینوتیوفنول..... ۷۸
- ۴-۳-۲ مطالعه‌ی اثر سرعت روبش پتانسیل روی فیلم پلیمری..... ۸۱
- ۴-۳-۳ بررسی پایداری پلیمر..... ۸۳
- ۴-۴ اصلاح سطح الکتروود پلیمر شده با آنزیم و گلوکارآلدهید..... ۸۴
- ۴-۴-۱ بهینه کردن مقدار آنزیم..... ۸۴

- ۲-۴-۴ بررسی ویژگی‌های فیلم آنزیم تثبیت شده ۸۵
- ۱-۲-۴-۴ مطالعه‌ی اثر سرعت روبش پتانسیل روی پیک آنزیم ۸۷
- ۳-۴-۴ بهینه کردن مقدار گلوکارآلدهید ۹۰
- ۵-۴ بررسی اثر اکسیژن ۹۱
- ۶-۴ ولتاموگرام‌های مربوط به بررسی رفتار گلوکز و شرایط پاسخ الکتروود اصلاح شده ۹۲
- ۱-۶-۴ بررسی ولتامتری چرخه‌ای الکتروود کربن شیشه‌ای (بدون اصلاح سطح، اصلاح شده با نانولوله‌های کربن و اصلاح شده با نانولوله‌های کربن و پلی-۴-آمینوتیوفنول) در حضور گلوکز بدون تثبیت آنزیم بر سطح الکتروود ۹۲
- ۲-۶-۴ مطالعه‌ی ولتامتری چرخه‌ای الکتروود کربن شیشه‌ای (بدون اصلاح سطح، اصلاح شده با نانولوله‌های کربن و اصلاح شده با نانولوله‌های کربن و پلی-۴-آمینوتیوفنول) در حضور گلوکز پس از تثبیت آنزیم بر سطح الکتروود ۹۴
- ۳-۶-۴ بررسی ولتامتری چرخه‌ای الکتروود کربن شیشه‌ای اصلاح شده با نانولوله‌ی کربن و پلی-۴-آمینوتیوفنول در حضور گلوکز ۹۶
- ۷-۴ محاسبه‌ی ثابت میکائیلیس-منتن ۹۹
- ۸-۴ بررسی کارایی الکتروود اصلاح شده ۱۰۱
- ۱-۸-۴ اندازه‌گیری گلوکز در نمونه‌ی حقیقی ۱۰۱
- ۹-۴ بررسی پایداری پاسخ الکتروود اصلاح شده در حضور گلوکز ۱۰۳
- ۱۰-۴ تکرارپذیری و ثکثیرپذیری پاسخ الکتروود ۱۰۴
- ۱۱-۴ بررسی اثر مزاحمت ۱۰۵
- ۱۲-۴ ولتاموگرام‌های مربوط به بررسی رفتار آسکوربیک اسید، دوپامین و اوریک اسید و شرایط پاسخ الکتروود اصلاح شده ۱۰۶
- ۱-۱۲-۴ بررسی ولتامتری چرخه‌ای الکتروود کربن شیشه‌ای بدون اصلاح سطح، اصلاح شده با نانولوله‌های کربن و اصلاح شده با نانولوله‌های کربن و پلی-۴-آمینوتیوفنول) در حضور آسکوربیک اسید، دوپامین و اوریک اسید ۱۰۶
- ۲-۱۲-۴ اثر pH ۱۱۲
- ۳-۱۲-۴ اندازه‌گیری دوپامین و اوریک اسید و آسکوربیک اسید روی الکتروود کربن شیشه‌ای اصلاح شده با نانولوله کربنی و پلیمر ۴-آمینوتیوفنول ۱۱۸

۴-۱۲-۴ اندازه‌گیری همزمان مخلوط دوپامین و اوریک اسید روی الکتروود اصلاح شده و منحنی درجه-

بندی.....۱۲۵

۴-۱۲-۵ اندازه‌گیری دوپامین و اوریک اسید و آسکوربیک اسید در نمونه‌های حقیقی۱۲۵

نتیجه‌گیری.....۱۳۰

مراجع.....۱۳۱

شکل ۱-۱ انواع نانولوله‌های کربنی	۱۳
شکل ۲-۱ ساختار برخی از پلیمرهای رسانا.....	۱۷
شکل ۳-۱ ساختار برخی از پلیمرهای نارسانا.....	۱۸
شکل ۴-۱ منحنی تغییر سرعت واکنش آنزیمی برای مقادیر مختلف سوپسترا.....	۲۳
شکل ۵-۱ نمودار دو معکوسی لینویور- برک.....	۲۴
شکل ۱-۲ روش‌های مختلف تثبیت آنزیم روی سطح الکتروود.....	۵۳
شکل ۲-۲ شمای کلی اکسیداسیون دوپامین.....	۵۶
شکل ۳-۲ شمای کلی اکسیداسیون اوریک اسید.....	۵۸
شکل ۴-۲ شمای کلی اکسیداسیون آسکوربیک اسید.....	۶۰
شکل ۱-۴ ولتاموگرام چرخه‌ای الکتروود کربن شیشه‌ای اصلاح نشده در بافر فسفات $\text{pH}=7$	۶۸
شکل ۲-۴ ولتاموگرام چرخه‌ای الکتروود کربن شیشه‌ای در بافر فسفات $\text{pH}=7$ (a) اصلاح نشده و (b) اصلاح شده با نانولوله‌های کربن چند دیواره.....	۶۸
شکل ۳-۴ ولتاموگرام‌های چرخه‌ای ثبت شده در حین الکتروپلیمره کردن ۴-آمینوتیوفنول در روی الکتروود کربن شیشه‌ای اصلاح نشده.....	۶۹
شکل ۴-۴ ولتاموگرام‌های چرخه‌ای ثبت شده در حین الکتروپلیمره کردن ۴-آمینوتیوفنول در روی الکتروود کربن شیشه‌ای اصلاح شده.....	۷۱
شکل ۵-۴ مکانیسم پیشنهادی برای پلیمریزاسیون ۴-آمینوتیوفنول در سطح الکتروود.....	۷۲
شکل ۶-۴ نمودار جریان‌های ولتامتری چرخه‌ای به دست آمده از پراکسید هیدروژن (۹ میلی مولار) بر روی الکتروود اصلاح شده با پلی ۴-آمینوتیوفنول با مقادیر مختلف از نانولوله‌های کربنی چند دیواره.....	۷۴
شکل ۷-۴ نتایج جریان‌های ولتاموگرام چرخه‌ای به دست آمده از پراکسید هیدروژن (۹ میلی مولار) بر روی الکتروود اصلاح شده با غلظت‌های متفاوت از ۴-آمینوتیوفنول.....	۷۵
شکل ۸-۴ نتایج جریان‌های ولتاموگرام چرخه‌ای به دست آمده از گلوکز (۱۰۰ میکرو مولار) بر روی الکتروود اصلاح شده با غلظت‌های متفاوت از ۴-آمینوتیوفنول.....	۷۶

- شکل ۴-۹ نمودار جریان‌های ولتامتری چرخه‌ای به دست آمده از پراکسید هیدروژن (۹ میلی مولار) بر روی الکتروود اصلاح شده با پلی ۴-آمینوتیوفنول با تعداد چرخه‌های پتانسیل مختلف ۷۸
- شکل ۴-۱۰ ولتاموگرام چرخه‌ای فیلم پلی ۴-آمینوتیوفنول روی سطح الکتروود کربن شیشه‌ای اصلاح نشده و اصلاح شده با نانولوله‌های کربن چند دیواره ۷۹
- شکل ۴-۱۱ ولتاموگرام‌های چرخه‌ای الکتروود کربن شیشه‌ای اصلاح شده با نانولوله‌های کربن و پلی ۴-آمینوتیوفنول، در محلول‌های بافر فسفات با pHهای متفاوت ۸۰
- شکل ۴-۱۲ نمودار پتانسیل برحسب pH برای پلیمر سنتز شده در محلول‌های بافر فسفات با pHهای متفاوت ۸۰
- شکل ۴-۱۳ ولتاموگرام‌های چرخه‌ای ثبت شده الکتروود کربن شیشه‌ای اصلاح شده با فیلم پلی ۴-آمینوتیوفنول در سرعت‌های مختلف روبش ۸۲
- شکل ۴-۱۴ ولتاموگرام‌های چرخشی مربوط به تکرار ۵۰ بار روبش پتانسیل از الکتروود اصلاح شده ۸۳
- شکل ۴-۱۵ نمودار جریان‌های ولتامتری چرخه‌ای به دست آمده از گلوکز بر روی الکتروود اصلاح شده با مقادیر مختلف از گلوکز اکسیداز در ناحیه منفی پتانسیل ۰/۴۸۲- ولت ۸۴
- شکل ۴-۱۶ نمودار جریان‌های ولتامتری چرخه‌ای به دست آمده از گلوکز بر روی الکتروود اصلاح شده با مقادیر مختلف از گلوکز اکسیداز در ناحیه مثبت پتانسیل ۰/۲۲۲ ولت ۸۵
- شکل ۴-۱۷ ولتاموگرام‌های چرخه‌ای الکتروود کربن شیشه‌ای اصلاح شده با نانولوله‌های کربن چند دیواره و فیلم پلی ۴-آمینوتیوفنول، آنزیم و گلوتارآلدهید در محلول‌های بافر فسفات با pH متفاوت ۸۶
- شکل ۴-۱۸ نمودار پتانسیل برحسب pH برای آنزیم تثبیت شده روی سطح الکتروود در محلول‌های بافر فسفات با pH متفاوت ۸۶
- شکل ۴-۱۹ ولتاموگرام‌های چرخه‌ای الکتروود کربن شیشه‌ای اصلاح شده با نانولوله‌های کربن چند دیواره فیلم پلی ۴-آمینوتیوفنول، آنزیم و گلوتارآلدهید در سرعت‌های روبش مختلف ۸۸
- شکل ۴-۲۰ نتایج جریان‌های ولتامتری چرخه‌ای به دست آمده از گلوکز بر روی الکتروود اصلاح شده با حجم‌های متفاوت از گلوتارآلدهید ۹۰
- شکل ۴-۲۱ ولتاموگرام چرخه‌ای الکتروود کربن شیشه‌ای اصلاح شده با نانولوله‌های کربن چند دیواره و فیلم پلی ۴-آمینوتیوفنول، آنزیم و گلوتارآلدهید بدون تزریق هوا و با تزریق هوا ۹۱
- شکل ۴-۲۲ ولتاموگرام چرخه‌ای در حضور و عدم حضور گلوکز روی الکتروود اصلاح نشده و اصلاح شده با نانولوله‌های کربنی چند دیواره و اصلاح شده با نانولوله‌های کربنی چند دیواره و پلی ۴-آمینوتیوفنول در غیاب آنزیم ۹۲ و ۹۳

شکل ۴-۲۳ ولتاموگرام چرخه‌ای پس از تثبیت آنزیم در حضور و عدم حضور گلوکز روی الکتروود اصلاح نشده و اصلاح شده با نانولوله‌های کربنی چند دیواره و اصلاح شده با نانولوله‌های کربنی چند دیواره و پلی ۴-آمینوتیوفنول ۹۵ و ۹۶

شکل ۴-۲۴ ولتاموگرام چرخه‌ای ثبت شده الکتروود کربن شیشه‌ای اصلاح شده با نانولوله‌های کربنی چند دیواره و پلی ۴-آمینوتیوفنول و قرار دادن آنزیم و گلوکز آلدئید در غلظت‌های مختلف از گلوکز ۹۷

شکل ۴-۲۵ نمودار کاهش جریان در دماغه‌ی کاتدی آنزیم در $0/48$ - ولت نسبت به الکتروود مرجع با افزایش غلظت گلوکز ۹۸

شکل ۴-۲۶ افزایش دماغه‌ی اکسایش گلوکز بر روی الکتروود اصلاح شده در پتانسیل 222 / ولت نسبت به الکتروود مرجع ۹۹

شکل ۴-۲۷ نمودار لینویور-برک ۱۰۰

شکل ۴-۲۸ نمودار لینویور-برک برای اندازه‌گیری در پتانسیل 22 / ولت نسبت به الکتروود مرجع ۱۰۰

شکل ۴-۲۹ ولتاموگرام‌های چرخه‌ای الکتروود اصلاح شده در بافر فسفات در 50 چرخه‌ی پی‌درپی در حضور گلوکز ۱۰۳

شکل ۴-۳۰ کاهش جریان ناشی از افزایش گلوکز بر روی الکتروود اصلاح شده در طی 14 روز ۱۰۴

شکل ۴-۳۱ پاسخ ولتاموگرام چرخه‌ای مربوط به غلظت 50 میکرومولار دوپامین روی الکتروود اصلاح شده با نانولوله کربنی و روی الکتروود اصلاح شده با نانولوله کربنی و پلی ۴-آمینوتیوفنول ۱۰۸ و ۱۰۹

شکل ۴-۳۲ پاسخ ولتاموگرام چرخه‌ای مربوط به غلظت 1 میلی مولار آسکوربیک اسید روی الکتروود اصلاح شده با نانولوله کربنی و روی الکتروود اصلاح شده با نانولوله کربنی و پلی ۴-آمینوتیوفنول ... ۱۰۹ و ۱۱۰

شکل ۴-۳۳ پاسخ ولتاموگرام چرخه‌ای مربوط به غلظت 1 میلی مولار اوریک اسید روی الکتروود اصلاح شده با نانولوله کربنی و روی الکتروود اصلاح شده با نانولوله کربنی و پلی ۴-آمینوتیوفنول ۱۱۱ و ۱۱۲

شکل ۴-۳۴ وابستگی پتانسیل پیک ولتاموگرام‌های چرخه‌ای دوپامین نسبت به pH ۱۱۳ و ۱۱۴

شکل ۴-۳۵ وابستگی پتانسیل پیک ولتاموگرام‌های چرخه‌ای اوریک اسید نسبت به pH ۱۱۵ و ۱۱۶

شکل ۴-۳۶ وابستگی پتانسیل پیک ولتاموگرام‌های چرخه‌ای آسکوربیک اسید نسبت به pH ۱۱۷ و ۱۱۸

شکل ۴-۳۷ ولتاموگرام‌های چرخه‌ای و پالس تفاضلی برای غلظت‌های مختلف دوپامین ۱۲۱

شکل ۴-۳۸ افزایش دماغه‌ی اکسایش دوپامین بر روی الکتروود اصلاح شده در پتانسیل $18/0$ ولت ۱۲۲

شکل ۴-۳۹ ولتاموگرام‌های چرخه‌ای و پالس تفاضلی غلظت‌های مختلف آسکوربیک اسید ۱۲۲ و ۱۲۳

شکل ۴-۴۰ افزایش دماغه‌ی اکسایش آسکوربیک اسید بر روی الکتروود اصلاح شده در پتانسیل $0/83$ ولت ۱۲۳

شکل ۴-۴۱ ولتاموگرامهای چرخه‌ای و پالس تفاضلی غلظت‌های مختلف اوریک اسید.....۱۲۴

شکل ۴-۴۲ افزایش دماغه‌ی اکسایش اوریک اسید بر روی الکتروود اصلاح شده در پتانسیل ۰/۲۴۲ ولت...۱۲۵

شکل ۴-۴۳ ولتاموگرامهای پالس تفاضلی مربوط به غلظت‌های مختلف دوپامین در حضور اوریک اسید...۱۲۶

فهرست جداول

عنوان

صفحه

جدول ۱-۴ اندازه‌گیری غلظت گلوکز در نمونه‌ی سرم خون ۱	۱۰۲
جدول ۲-۴ اندازه‌گیری غلظت گلوکز در نمونه‌ی سرم خون ۲	۱۰۲
جدول ۳-۴ تعیین حد تحمل در اندازه‌گیری گلوکز	۱۰۳
جدول ۴-۴ اندازه‌گیری غلظت دوپامین نمونه حاوی دوپامین تزریقی	۱۲۷
جدول ۵-۴ استفاده از سرم به عنوان بافت طبیعی برای اندازه‌گیری اوریک اسید	۱۲۸
جدول ۶-۴ اندازه‌گیری غلظت آسکوربیک اسید نمونه پرتقال	۱۲۸
جدول ۷-۴ مقایسه‌ی ارقام شایستگی به دست آمده در کار حاضر با کارهای مشابه	۱۲۹

چکیده

در این پژوهش، مطالعه‌ی گسترده‌ای بر روی تثبیت فیزیکی آنزیم گلوکز اکسیداز بر روی الکتروود کربن شیشه‌ای اصلاح شده با نانولوله‌ی کربنی چنددیواره و پلی‌۴-آمینوتیوفنول انجام شده است. الکتروود کربن شیشه‌ای/ نانولوله‌ی کربنی چنددیواره/پلی‌۴-آمینوتیوفنول/آنزیم گلوکز اکسیداز/ گلوکز آلدئید به‌عنوان حس-گر زیستی در دنبال کردن گلوکز به روش ولتامتری چرخه‌ای استفاده شد. این پژوهش در سه قسمت صورت گرفت. پس از به‌دست آوردن شرایط بهینه، بررسی‌های کمی برای به‌دست آوردن ارقام شایستگی انجام شد. در بخش اول، انتقال الکترون مستقیم آنزیم دنبال شد که در این قسمت یک دماغه‌ی برگشت پذیر با پتانسیل فرمال ۰/۴۴۸- ولت نسبت به الکتروود مرجع Ag/AgCl در بافر فسفات $\text{pH} = 7$ مشاهده می‌شود. با اشباع کردن محلول از هوا به‌علت اثر الکتروکاتالیزوری آنزیم برای کاهش اکسیژن محلول در این سیستم، دماغه‌ی کاهشی آنزیم به‌شدت بزرگ و دماغه‌ی اکسایش آن کوچک می‌شود. با افزایش گلوکز و کم شدن جریان دماغه‌ی کاتدی، رابطه‌ی خطی خوبی بین غلظت گلوکز و کاهش جریان کاتدی به‌دست آمد. این روش حساسیت $0.021 \mu\text{A}/\mu\text{M}$ رنج خطی ۱۰ تا ۴۵۰ میکرومولار و با ضریب هم‌بستگی ۰/۹۹۶ و حد تشخیص ۴/۸ میکرومولار را داراست. مطالعه‌های انجام شده در اثر سرعت روبش پتانسیل روی پیک آنزیم نشان‌دهنده‌ی کنترل سطحی فرآیند است. ضریب انتقال الکترون ۰/۴۷ و ثابت انتقال الکترون $3/2 \text{ s}^{-1}$ از دیگر ویژگی‌های قابل توجه کار حاضر به‌شمار می‌روند که نشان دهنده‌ی انتقال الکترون آسان در این سیستم است. در این بخش، ثابت میکائیلیس-منتن ۴۹/۸۲ میکرومولار محاسبه شد.

اکسایش پراکسید هیدروژن حاصل از فرآیند الکتروکاتالیتیکی گلوکز بر روی این الکتروود اصلاح شده در پتانسیل ۰/۲۲۲ ولت صورت می‌گیرد. در این قسمت نیز حساسیت $0.017 \mu\text{A}/\text{mM}$ و حدتشخیص ۳/۴۵ میکرومولار در رنج خطی گستره‌ی ۱۰ تا ۲۰۰ میکرومولار نسبت به گلوکز (با ضریب هم‌بستگی ۰/۹۹۶). به‌دست آمد. همچنین حساسیت این الکتروود $0.004 \mu\text{A}/\text{mM}$ در محدوده خطی ۲۵۰-۴۰۰ میکرومولار و حدتشخیص ۱۴/۶۶ میکرومولار به دست آمد.

دربخش دوم کار حاضر شامل اندازه‌گیری آسکوربیک اسید، دوپامین و اسید اوریک بر روی الکتروود کربن شیشه‌ای اصلاح شده با نانولوله‌ی کربنی چنددیواره و پلی‌۴-آمینوتیوفنول است. اکسایش الکتروکاتالیتیکی دوپامین و اسید اوریک (در محلول بافری با pH معادل ۷) با استفاده از الکتروود کربن شیشه‌ای اصلاح شده، در ولتاژ پایینی به ترتیب در حدود پتانسیل ۰/۱۸۰ و ۰/۲۴۲ ولت نسبت به مرجع $Ag/AgCl$ اتفاق می‌افتد. فعالیت الکتروکاتالیزوری الکتروود اصلاح شده باعث شد که پتانسیل اکسایش دو گونه‌ی دوپامین و اسید اوریک از یکدیگر جدا شود و امکان اندازه‌گیری همزمان این دو گونه را فراهم کند. الکتروود اصلاح شده حساسیت خیلی خوبی در اندازه‌گیری هر کدام از این گونه‌های الکتروفعال با گستره‌ی خطی ۰/۵ تا ۷ میلی-مولار، ۱۰ تا ۵۰۰ میکرومولار و ۰/۵ تا ۵/۵ میلی‌مولار به ترتیب برای آسکوربیک اسید، دوپامین و اسید اوریک از خود نشان می‌دهد. حد تشخیص‌های بدست آمده برای آن‌ها نیز به ترتیب برابر با ۰/۲۷ میلی‌مولار، ۳۱/۷۳ میکرومولار و ۰/۲۹۸ میلی‌مولار است. همچنین کارایی سیستم ارائه شده توسط آنالیز نمونه حقیقی بررسی شد. با توجه به نتایج بدست آمده در این بخش، کار انجام شده یک روش ساده و راحت برای اندازه‌گیری این سه گونه ارائه می‌دهد.

فصل اول

مقدمه

۱-۱ مقدمه‌ای بر الکتروشیمی

شیمی تجزیه، دانش ابداع و اصلاح روش‌های شناسایی و اندازه‌گیری مواد با بهره‌گیری از اصول و قوانین شیمیایی و فیزیکی است و الکتروشیمی تجزیه، شاخه‌ای از این مجموعه وسیع است که راه‌های تجزیه‌ای مبتنی بر فرآیندهای الکتروشیمیایی را مورد بررسی قرار می‌دهد. گزینش‌پذیری واکنش‌های الکتروشیمیایی و دقت بالایی که با آن می‌توان پارامترهای مرتبط با این واکنش‌ها را اندازه گرفت، روش‌های الکتروشیمیایی تجزیه را در ردیف حساس‌ترین و انتخابی‌ترین روش‌های تجزیه‌ای تشخیص و تعیین مقدار قرار می‌دهد. یکی از ویژگی‌های کم‌نظیر روش‌های الکتروشیمیایی تجزیه، گستردگی دامنه کارایی آنهاست، بطوریکه علاوه بر امکان کاربرد آنها بصورت روش‌های مستقل، می‌توان از آنها برای آشکارسازی نتایج بسیاری از پدیده‌های فیزیکی و شیمیایی استفاده کرد. در حال حاضر محدوده الکتروشیمی تجزیه از معدود روش‌های کلاسیک نظیر پتانسیومتری، آمپرومتری، پلاروگرافی، هدایت‌سنجی و ترسیب الکتریکی فراتر رفته و روش‌های جدیدتری که ثمره تلفیق اطلاعات الکتروشیمیایی با تکنولوژی مدرن الکترونیک است به‌میان آمده‌اند. تمام واکنش‌های شیمیایی، اساساً ماهیت الکتریکی دارند، زیرا الکترون‌ها در تمام انواع پیوندهای شیمیایی به راه‌های گوناگون دخالت دارند. اما الکتروشیمی بیش از هر چیز به بررسی پدیده‌های اکسایش-کاهش می‌پردازد. روابط بین تغییر شیمیایی و انرژی الکتریکی، هم از لحاظ نظری و هم از لحاظ عملی حائز اهمیت است. از واکنش‌های شیمیایی می‌توان برای تولید انرژی الکتریکی استفاده کرد (در سلول‌هایی که سلول‌های ولتایی یا سلول‌های گالوانی نامیده می‌شوند) و انرژی الکتریکی را می‌توان برای تبادلات شیمیایی بکار برد (در سلول‌های الکترولیتی). علاوه بر این، مطالعه فرآیندهایی الکتروشیمیایی منجر به فهم و تنظیم قواعد آنگونه از پدیده‌های اکسایش-کاهش که خارج از اینگونه سلول‌ها روی می‌دهند، نیز می‌شود.

پیشرفت‌های انجام شده در بین سال‌های ۱۹۸۰ تا ۱۹۹۰ شامل توسعه‌های الکترودهای بسیار ریز، طراحی سطح‌های تماس مناسب و تک لایه‌های مولکولی، تلفیق اجزاء زیستی با انتقال دهنده‌های

الکتروشیمیایی و غیره است که باعث افزایش قابل توجه در فراگیر شدن روش‌های الکتروشیمیایی تجزیه و گسترش آن در قلمروهای جدید مانند حس‌گرهای شیمیایی شده است [۱].

۲-۱ حسگرها^۱ و انواع آنها

اندازه‌گیری گونه‌های مهم شیمیایی و زیستی یکی از هدف‌های اساسی علوم تجزیه‌ای از گذشته تا کنون بوده است. از آنجایی که در بسیاری از موارد گونه مورد نظر در محیط‌های بسیار پیچیده وجود دارد، لذا نیاز به روش‌هایی است که بدون نیاز به مراحل وقت‌گیر و هزینه‌بر جداسازی، گونه مورد نظر را بصورت انتخابی^۲ اندازه‌گیری کنند، ضمن اینکه از حساسیت^۳ بسیار زیادی نیز برخوردار باشد. حسگرها، ابزارهایی هستند که در چند دهه اخیر مورد توجه دانشمندان تجزیه قرار گرفتند. می‌توان یک حسگر را بعنوان یک آشکار ساز^۴ برای اندازه‌گیری مستقیم غلظت گونه مورد نظر تعریف نمود. حسگرهای شیمیایی و یا زیست شیمیایی از یک مبدل پوشیده شده با لایه‌ای از ماده تشخیص دهنده^۵ شیمیایی (یا زیستی) ساخته شده است. لایه مورد اشاره با گونه مورد نظر واکنش داده و تغییرات ناشی از این بر هم کنش توسط مبدل به پاسخ‌های کمی الکتریکی، نوری، جرم یا حرارتی تبدیل می‌شوند [۲].

حسگرهای الکتروشیمیایی دسته مهمی از حسگرهای شیمیایی می‌باشند که در ساختار آنها یک الکتروود به عنوان مبدل مورد استفاده قرار می‌گیرد و در نتیجه یک برهم کنش الکتروشیمیایی، پاسخی الکتریکی متناسب با غلظت گونه مورد نظر تولید می‌کند. این ابزارها طوری طراحی می‌شوند که می‌توانند به گونه مورد نظر در یکی از فازهای جامد، مایع و گاز پاسخ دهند. چنین ابزارهایی در حال حاضر از موقعیت برجسته‌ای در میان سنسورهای موجود، برخوردارند و به مرحله تجاری رسیده و گستره وسیعی

¹ sensor

² selective

³ sensitivity

⁴ transducer

⁵ recognizer

از کاربردهای مهم در زمینه تجزیه‌های بالینی، صنعتی، زیست محیطی، کشاورزی و آشکارسازهای کروماتوگرافی مایع با کارایی بالا و لوله‌مویی^۶ الکتروفورز را پیدا کرده است [۳].

حسگرهای الکتروشیمیایی به سه دسته تقسیم می‌شوند:

- حسگرهای پتانسیومتری
- حسگرهای آمپرومتری
- حسگرهای هدایت سنجی

حسگرهای پتانسیومتری گسترده‌ترین گروه حسگرهای الکتروشیمیایی هستند. آنها ابزاری هستند که پتانسیل خوانده شده توسط آنها به طور خطی با لگاریتم فعالیت یون مورد اندازه‌گیری در محلول رابطه دارد. این دسته از سنسورها بسیار ارزان و ساده می‌باشند و از اوایل دهه ۱۹۳۰ بطور کاربردی مورد استفاده قرار گرفتند. این حسگرها به چهار گروه تقسیم می‌شوند که هر یک مکانیسم عمل متفاوتی دارند:

- الکترودهای یون‌گزین (ISE)^۷
- الکترودهای سیم روکش دار (CWE)^۸
- الکترودهای حالت جامد
- ترانزیستور با اثر میدان (FET)^۹

الکترودهای یون‌گزین یا ISES مهمترین و کاربردی‌ترین گروه از این دسته هستند. الکترودهای سیم روکش دار، از روکش دادن مستقیم یک لایه پلیمری مناسب حاوی ماده فعال بر روی یک هادی تهیه می‌شوند. هادی می‌تواند فلزاتی نظیر پلاتین، طلا، مس یا میله گرافیت باشد. حذف محلول داخلی باعث ایجاد مزایای جدیدی گشته است. ترانزیستور با اثر میدان یک ابزار جامد است که امپدانس ورودی بالا و امپدانس

⁶ capillary

⁷ Ion-selective electrode

⁸ Wire carbon electrode

⁹ Field effect transistors